

稳态导热

7.1 导热微分方程及边界条件

7.2 平壁的导热计算

7.3 接触热阻

7.4 多层平壁与复合平壁导热

7.5 径向系统的一维导热

7.1 导热微分方程及边界条件

- 导热问题的求解方法：分析解，实验方法，类比方法和数值方法。
- 傅里叶定律无法求解所有的导热问题，还必须利用导热微分方程及相应的单值性条件，才能获得导热物体内的温度场，并进而求得物体内瞬时的或者平均的传热热流。
- 导热微分方程系根据傅里叶定律和热量守恒原理导出。

导热微分方程式

根据能量守恒与转换定律

导入与导出微元体的净热量+微元体内热源的发热量=微元体中热力学能的增加

I

II

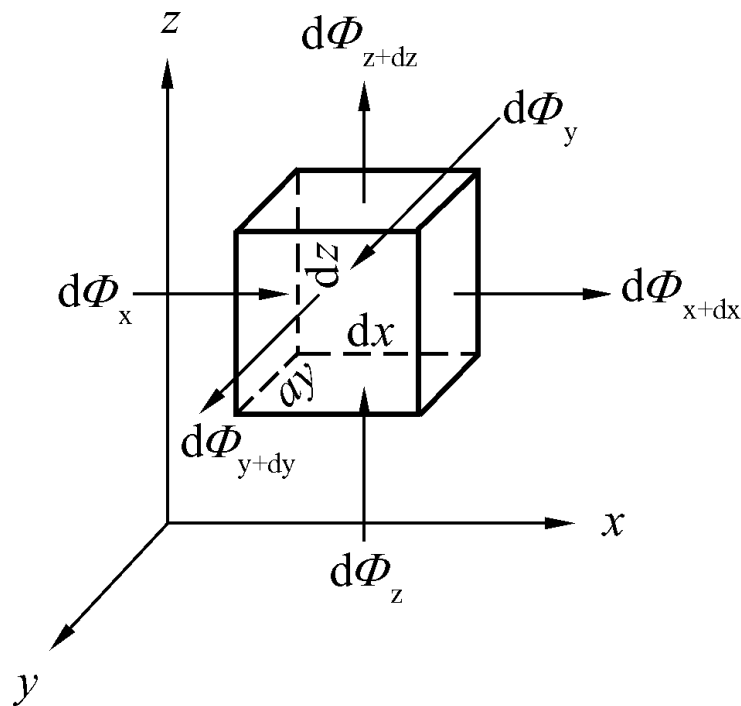
III

三个方向导入和导出微元体的热量为：

$$d\Phi_x - d\Phi_{x+dx} = -\frac{\partial q_x}{\partial x} dx dy dz d\tau$$

$$d\Phi_y - d\Phi_{y+dy} = -\frac{\partial q_y}{\partial y} dx dy dz d\tau$$

$$d\Phi_z - d\Phi_{z+dz} = -\frac{\partial q_z}{\partial z} dx dy dz d\tau$$



导入微元体的净热量：

$$q_x = -\lambda \frac{\partial t}{\partial x}$$

$$I = \left[\frac{\partial}{\partial x} \left(\lambda \frac{\partial t}{\partial x} \right) + \frac{\partial}{\partial y} \left(\lambda \frac{\partial t}{\partial y} \right) + \frac{\partial}{\partial z} \left(\lambda \frac{\partial t}{\partial z} \right) \right] dx dy dz d\tau$$

微元体中的热源发热量：

$$II = q_v dx dy dz d\tau$$

微元体中热力学能的增量：

$$(mcdt = \rho dx dy dz c \frac{\partial t}{\partial \tau} d\tau)$$

$$III = \rho c \frac{\partial t}{\partial \tau} dx dy dz d\tau$$

最后，导热微分方程式：

$$\rho c \frac{\partial t}{\partial \tau} = \frac{\partial}{\partial x} \left(\lambda \frac{\partial t}{\partial x} \right) + \frac{\partial}{\partial y} \left(\lambda \frac{\partial t}{\partial y} \right) + \frac{\partial}{\partial z} \left(\lambda \frac{\partial t}{\partial z} \right) + q_v$$

热物性参数为常数

$$\frac{\partial t}{\partial \tau} = \frac{\lambda}{\rho c} \left(\frac{\partial^2 t}{\partial x^2} + \frac{\partial^2 t}{\partial y^2} + \frac{\partial^2 t}{\partial z^2} \right) + \frac{q_v}{\rho c}$$

或者：

$$\frac{\partial t}{\partial \tau} = a \nabla^2 t + \frac{q_v}{\rho c} \quad a = \frac{\lambda}{\rho c}$$

a ——热扩散率表征物体被加热或冷却时，物体内部各部分温度趋向均匀一致的能力。热扩散率 a 反映了导热过程中材料的导热能力(λ)与沿途物质储热能力(ρc)之间的关系。

无热源：

$$\frac{\partial t}{\partial \tau} = a \nabla^2 t$$

稳态温度场：

$$a \nabla^2 t + \frac{q_v}{\rho c} = 0$$

无热源稳态温度场：

$$\nabla^2 t = \frac{\partial^2 t}{\partial x^2} + \frac{\partial^2 t}{\partial y^2} + \frac{\partial^2 t}{\partial z^2} = 0$$

导热过程的单值性条件

导热微分方程是物体内温度分布的通用控制方程，但还需要配相应的单值性条件，才能获得特定导热问题的特解。单值性条件由以下四个方面构成：

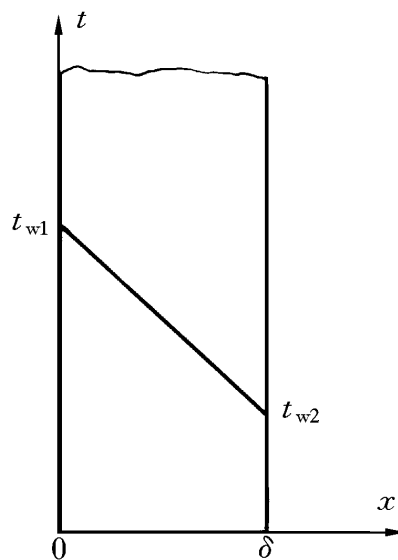
- (1) 几何条件，指物体的几何尺度、形状等。
- (2) 物理条件，指导热体的主要物理特征，如物性的数值，是否随温度变化以及有无内热源等。
- (3) 时间条件，针对非稳态问题。常以初始时刻温度分布的形式给出，因此也称为初始条件。
- (4) 边界条件，指导热物体边界面上与外部环境之间在热方面的联系或相互作用。

常见的三种边界条件

- 第一类规定导热物体边界面上的温度

$$\tau > 0, \quad t_w = f(x, y, z, \tau)$$

恒壁温边界条件



无限大平壁的第一类边界条件

常见的三种边界条件

· 第二类规定导热物体边界面上的热流密度

$$\tau > 0, \quad q_w = -\lambda \frac{\partial t}{\partial n} \Big|_w = f(x, y, z, \tau)$$

实际上相当于已知任意时刻物体边界面上法向的温度变化率的值

$$-\frac{\partial t}{\partial n} \Big|_s = \frac{q_w}{\lambda}$$

恒热流边界条件

如果边界面是绝热的，即边界面上的温度变化率数值为0，则

$$-\frac{\partial t}{\partial n} \Big|_s = 0$$

绝热边界条件

注意已知边界面上温度变化率的值，并不是已知物体的温度分布，因为物体内部各处的温度梯度和边界面上的温度值都是未知的。

常见的三种边界条件

- 第三类，称为对流边界条件，规定边界面上的换热状况。一般给出流体温度和相应的对流换热表面传热系数。

$$-\lambda \frac{\partial t}{\partial n} \bigg|_w = h (t_w - t_f)$$

流体温度 t_f 和表面传热系数 h 可以随位置和时间变化，也可以是恒定的常数。

如果边界面上对流与辐射并存， h 应被视为复表合面传热系数。

当热流方向不同时该式的形式相应有变化。

7.2 平壁的导热计算

- 表面积 A 的单一材料平壁，无内热源，两侧面分别维持均匀恒定的温度 t_{w1} 和 t_{w2}
- 由傅里叶定律，穿过平壁的导热热流量

$$\Phi = -\lambda A \frac{dt}{dx}$$

- 分离变量，在平壁的全厚度上积分

$$\Phi \int_{x=0}^{\delta} dx = - \int_{t=t_{w1}}^{t_{w2}} \lambda A dt$$

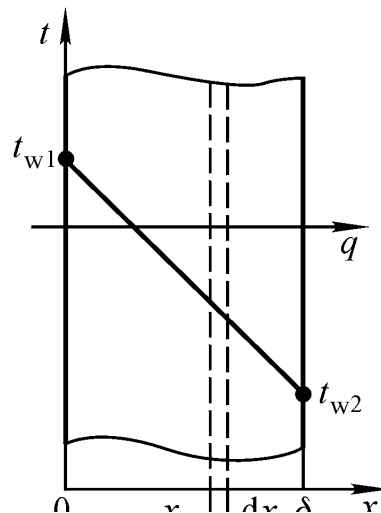
$$\Phi = \lambda A \frac{t_{w1} - t_{w2}}{\delta} = \lambda A \frac{\Delta t}{\delta}$$

$$\Phi = \frac{t_{w1} - t_{w2}}{\delta / (\lambda A)} \quad \text{热阻}$$

注意：一维温度场的条件

- 其他解法

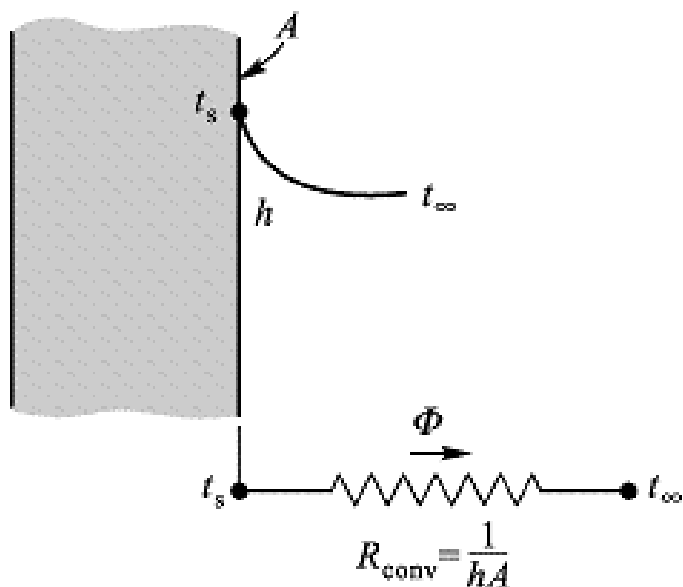
热电比拟：热阻表达方法



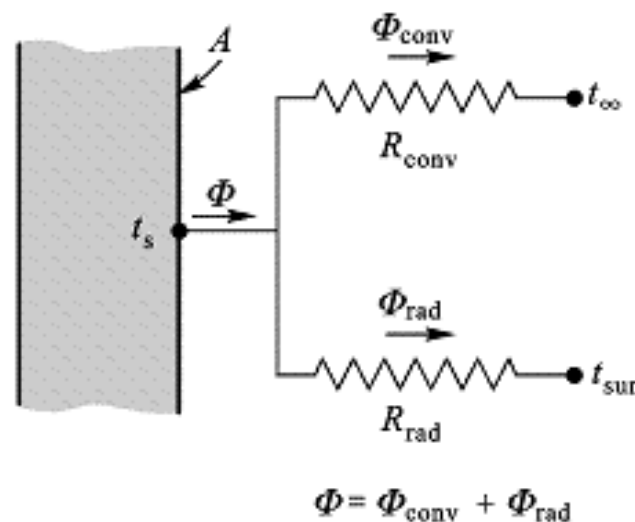
• 对流换热的热阻也可以表示为 $\Phi = \frac{t_w - t_f}{1/(hA)}$

• 对于表面上的辐射换热，有 $R_{\text{rad}} = 1/(h_{\text{rad}} A)$

• 从辐射换热表面传热系数计算的当量热阻是壁面温度、环境温度、发射率以及表面积的函数。



表面对流换热热阻



辐射与对流热阻并联

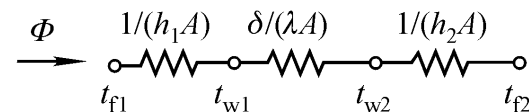
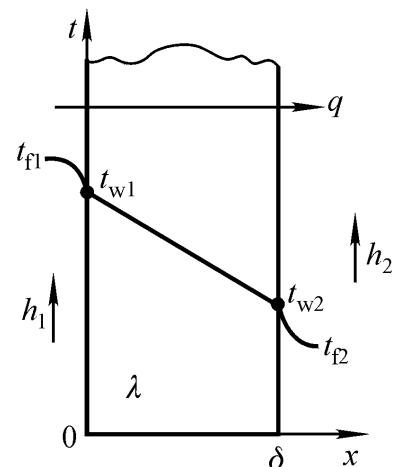
• 对流边界条件下的平壁导热： 传热过程

$$\Phi = \frac{t_{f1} - t_{w1}}{1/(h_1 A)} = \frac{t_{w1} - t_{w2}}{\delta / (\lambda A)} = \frac{t_{w2} - t_{f2}}{1/(h_2 A)}$$

$$\Phi = \frac{t_{f1} - t_{f2}}{R_{\text{tot}}} \quad R_{\text{tot}} = \frac{1}{h_1 A} + \frac{\delta}{\lambda A} + \frac{1}{h_2 A}$$

• 总传热系数 k

$$\Phi = kA(t_{f1} - t_{f2})$$



穿过每个平面的热流量/热流密度保持不变

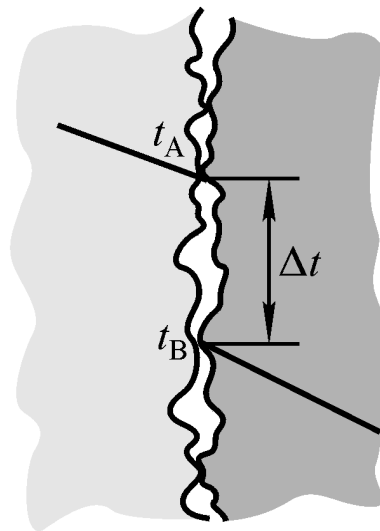
如何计算壁面的温度？

7.3 接触热阻

- 多数实际工程应用中很难保证绝对的平整和光滑，两表面间为点或小面积接触。
- 通过不规则缝隙的热量传递是接触点的导热、缝隙中空气的导热和由缝隙的空腔形成的热辐射联合作用的结果。相对于表面理想热接触而言，导热过程多了额外的热阻，称为接触热阻

$$R_c = \frac{t_A - t_B}{q}$$

$$\frac{\frac{t_{w1} - t_{w2}}{\frac{\delta_1}{\lambda_1} + R_c + \frac{\delta_2}{\lambda_2}}}{\frac{\delta_1}{\lambda_1} + \frac{\delta_2}{\lambda_2}} < \frac{t_{w1} - t_{w2}}{\frac{\delta_1}{\lambda_1} + \frac{\delta_2}{\lambda_2}}$$



- 影响接触热阻的主要因素包括：材料种类，硬度匹配状况，材料的表面粗糙度，缝隙中填充介质的种类，接触面承受的正压力（预紧力）以及材料表面的清洁程度、氧化状况等。

- 接触热阻无法做理论计算，只能实测。
- 消除接触面处的热阻的简便方法：(1) 选软硬适当的材料配对，施以一定压力，以便加大接触面积，消除缝隙。(2) 在接触面上衬以铜箔、铝箔、银箔等较软且导热非常好的材料。(3) 在接触面上涂一薄层特制的导热油（导热姆）。(4) 对接触面积很小的管带式肋片，可采用胀管、钎焊或者镀锡、热浸锌等措施。

7.4 多层平壁与复合平壁导热

- 由多层不同材料构成的平壁，如果层间不存在接触热阻

$$q = \frac{t_{f1} - t_{w1}}{1/h_1} = \frac{1}{R_{h,1}}(t_{f1} - t_{w1})$$

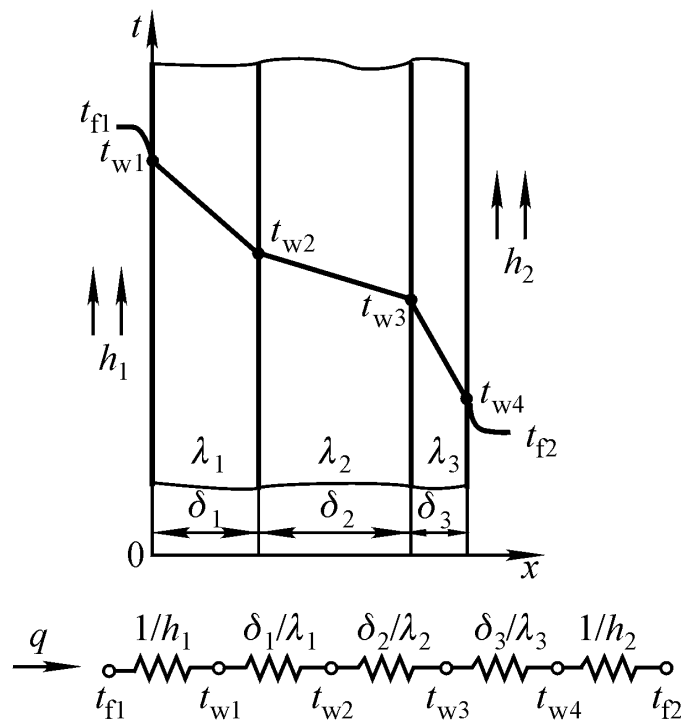
$$q = \frac{t_{w1} - t_{w2}}{\delta_1/\lambda_1} = \frac{1}{R_{\lambda,1}}(t_{w1} - t_{w2})$$

$$q = \frac{t_{w2} - t_{w3}}{\delta_2/\lambda_2} = \frac{1}{R_{\lambda,2}}(t_{w2} - t_{w3})$$

$$q = \frac{t_{w3} - t_{w4}}{\delta_3/\lambda_3} = \frac{1}{R_{\lambda,3}}(t_{w3} - t_{w4})$$

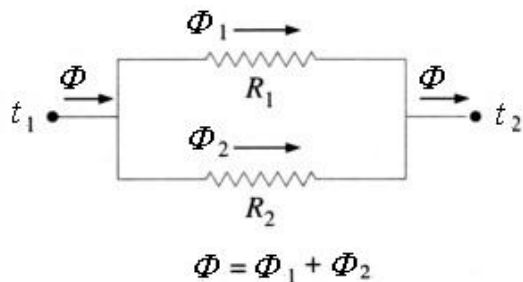
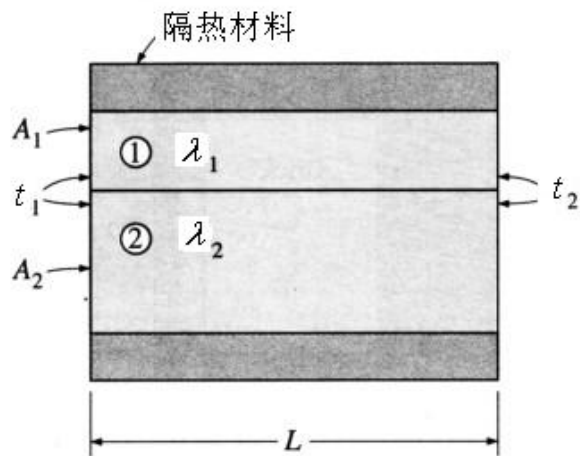
$$q = \frac{t_{w4} - t_{f2}}{1/h_2} = \frac{1}{R_{h,2}}(t_{w4} - t_{f2})$$

$$q = \frac{\Delta t}{\sum R_i} = \frac{t_{f1} - t_{f2}}{\frac{1}{h_1} + \frac{\delta_1}{\lambda_1} + \frac{\delta_2}{\lambda_2} + \frac{\delta_3}{\lambda_3} + \frac{1}{h_2}}$$



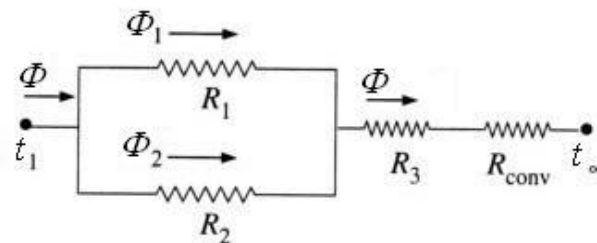
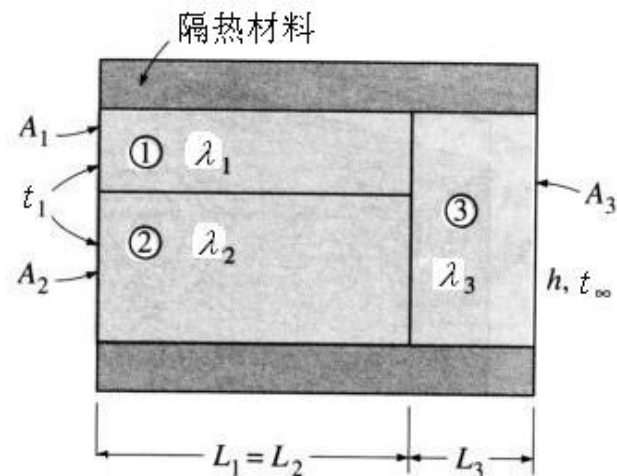
δ 为沿热流传递方向的厚度

复合平壁导热分析：热阻网络



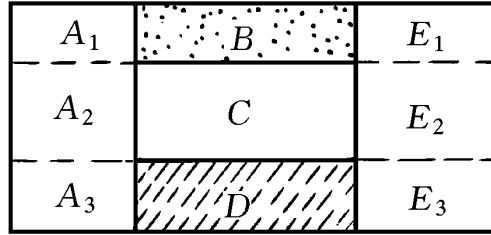
$$\sum R_{\lambda} = \frac{1}{\frac{1}{R_{\lambda 1}} + \frac{1}{R_{\lambda 2}}}$$

并联结构

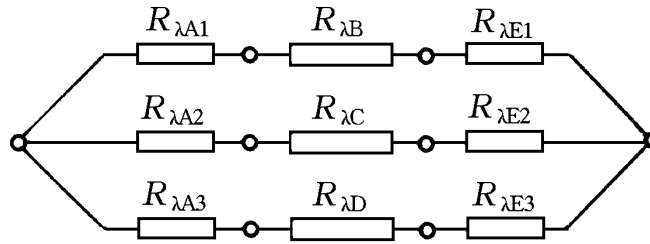


$$\sum R_{\lambda} = \frac{1}{\frac{1}{\frac{1}{R_{\lambda 1}} + \frac{1}{R_{\lambda 2}}} + R_{\lambda 3} + R_{\text{conv}}}$$

串并联结构



(a)



(b)

$$\Sigma R_{\lambda} = \frac{1}{\frac{1}{R_{\lambda A1} + R_{\lambda B} + R_{\lambda E1}} + \frac{1}{R_{\lambda A2} + R_{\lambda C} + R_{\lambda E2}} + \frac{1}{R_{\lambda A3} + R_{\lambda D} + R_{\lambda E3}}}$$

7.5 径向系统的一维导热

- 总长 L ，内外半径分别为 r_1 、 r_2 的圆柱体，没有内热源，内外表面分别保持均匀温度 t_{w1} 、 t_{w2}

$$\Phi = -\lambda A \frac{dt}{dr} = -\lambda 2\pi r L \frac{dt}{dr} \quad \frac{\Phi}{2\pi L} \int_{r_1}^{r_2} \frac{dr}{r} = -\int_{t_{w1}}^{t_{w2}} \lambda dt$$

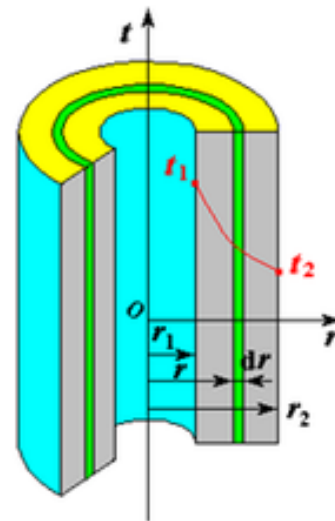
$$\Phi = \frac{t_{w1} - t_{w2}}{\frac{1}{2\pi\lambda L} \ln\left(\frac{r_2}{r_1}\right)}$$

以单位长度计算的 q_L

$$q_L = \frac{t_{w1} - t_{w2}}{\ln(r_2 / r_1) / 2\pi\lambda}$$

在第3类边界条件下

$$q_L = \frac{t_{f1} - t_{f2}}{\frac{1}{h_1 \pi d_1} + \frac{1}{2\pi\lambda} \ln\left(\frac{r_2}{r_1}\right) + \frac{1}{h_2 \pi d_2}}$$



多层圆筒壁

$$\Phi = \frac{t_{f1} - t_{f2}}{\frac{1}{h_1 \pi d_1 L} + \sum_{i=1}^n \frac{1}{2 \pi \lambda_i L} \ln \frac{r_{i+1}}{r_i} + \frac{1}{h_2 \pi d_{n+1} L}}$$

通过球壁的导热

- 空心球壳内一维稳态、无内热源、常物性时的温度分布及热流量

$$Q = -\lambda A \frac{dt}{dr} = -\lambda 4\pi r^2 \frac{dt}{dr} = \text{const}$$

分离变量后积分，可得

$$Q \int_{r_1}^{r_2} \frac{dr}{4\pi r^2} = -\lambda \int_{t_1}^{t_2} dt$$

$$Q = \frac{(t_1 - t_2)}{\left(\frac{1}{r_1} - \frac{1}{r_2} \right) / 4\pi\lambda}$$

例题

7-1 至 7-5

作业

P198

• 7-3

• 7-5

• 7-7

• 7-8

$$\rho c \frac{\partial t}{\partial \tau} = \frac{\partial}{\partial x} \left(\lambda \frac{\partial t}{\partial x} \right) + \frac{\partial}{\partial y} \left(\lambda \frac{\partial t}{\partial y} \right) + \frac{\partial}{\partial z} \left(\lambda \frac{\partial t}{\partial z} \right) + q_v$$

三类边界条件

$$\Phi = \frac{t_{w1} - t_{w2}}{\delta / (\lambda A)}$$

$$\Phi = \frac{t_w - t_f}{1 / (hA)}$$

$$R_{\text{rad}} = 1 / (h_{\text{rad}} A)$$

$$q = \frac{\Delta t}{\sum R_i} = \frac{t_{f1} - t_{f2}}{\frac{1}{h_1} + \frac{\delta_1}{\lambda_1} + \frac{\delta_2}{\lambda_2} + \frac{\delta_3}{\lambda_3} + \frac{1}{h_2}}$$

$$\Phi = \frac{t_{w1} - t_{w2}}{\frac{1}{2\pi\lambda L} \ln \left(\frac{r_2}{r_1} \right)}$$

$$Q = \frac{(t_1 - t_2)}{\left(\frac{1}{r_1} - \frac{1}{r_2} \right) / 4\pi\lambda}$$